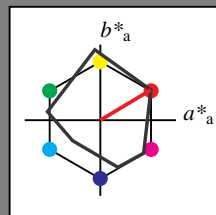


### Eingabe: Farbmétrisches Reflexions-System MRS18a

für Buntton  $h^* = lab^*h = 31/360 = 0.086$   
 $lab^*tch$  und  $lab^*nch$

D65: Buntton R  
LCH\*Ma: 50 78 31  
rgb\*Ma: 1.0 0.0 0.0



MRS18a; adaptierte CIELAB-Daten					
	$L^*=L^*_a$	$a^*_a$	$b^*_a$	$C^*_{ab,a}$	$h^*_{ab,a}$
RMa	49.63	66.8	40.02	77.87	31
JMa	90.7	-7.27	93.19	93.48	94
GMa	52.11	-69.93	11.26	70.85	171
G50BMa	45.03	-36.65	-27.13	45.61	217
BMa	36.65	23.26	-62.27	66.49	290
B50RMa	34.94	57.27	-43.6	71.99	323
NMa	18.01	0.0	0.0	0.0	0
WMa	95.41	0.0	0.0	0.0	0
RCIE	39.92	58.67	27.97	64.99	25
JCIE	81.26	-2.91	71.56	71.62	92
GCIE	52.23	-42.47	13.58	44.6	162
BCIE	30.57	1.33	-46.48	46.51	272

Dreiecks-Helligkeit  $t^*$

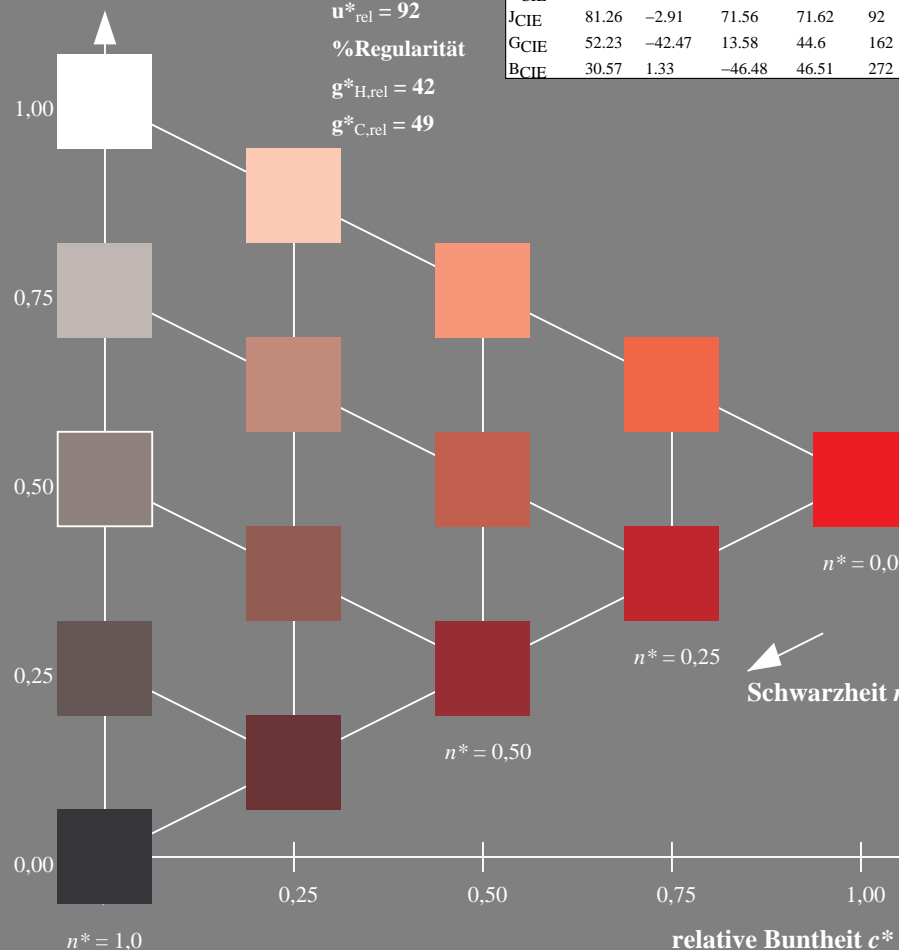
%Umfang

$u^*_{rel} = 92$

%Regularität

$g^*_{H,rel} = 42$

$g^*_{C,rel} = 49$

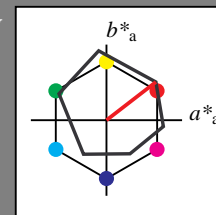


UG260-7, 5 stufige Reihen für konstanten CIELAB Buntton 31/360 = 0.086 (links)

### Ausgabe: Farbmétrisches Reflexions-System ORS18

für Buntton  $h^* = lab^*h = 38/360 = 0.105$   
 $LAB^*LCH$ ,  $LAB^*NCH$

D65: Buntton O  
LCH\*Ma: 48 83 38  
rgb\*Ma: 1.0 0.0 0.0



ORS18; adaptierte CIELAB-Daten					
	$L^*=L^*_a$	$a^*_a$	$b^*_a$	$C^*_{ab,a}$	$h^*_{ab,a}$
OMa	47.94	65.37	50.52	82.62	38
YMa	90.37	-10.27	91.77	92.34	96
LMa	50.9	-62.79	34.95	71.87	151
CMa	58.62	-30.35	-45.01	54.3	236
VMa	25.71	31.11	-44.42	54.24	305
MMa	48.13	75.27	-8.35	75.73	354
NMa	18.01	0.0	0.0	0.0	0
WMa	95.41	0.0	0.0	0.0	0
RCIE	39.92	58.66	26.98	64.56	25
JCIE	81.26	-2.17	67.76	67.79	92
GCIE	52.23	-42.26	11.75	43.87	164
BCIE	30.57	1.15	-46.84	46.87	271

CIELAB-Helligkeit  $L^*$

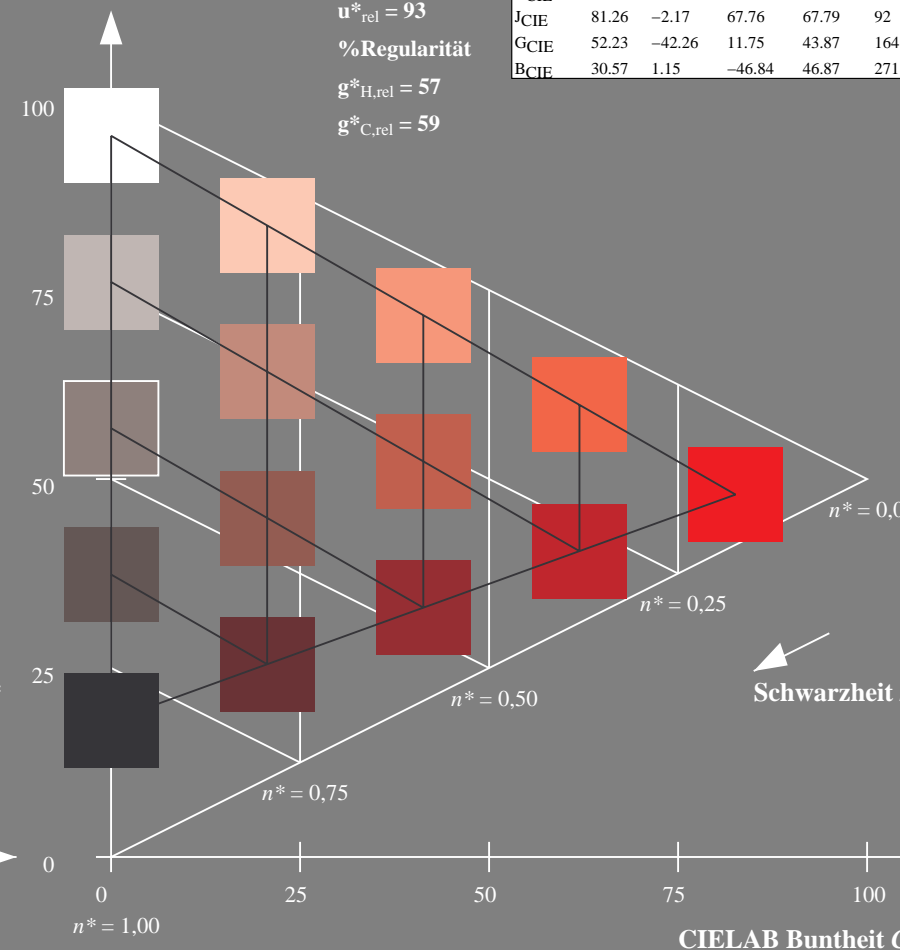
%Umfang

$u^*_{rel} = 93$

%Regularität

$g^*_{H,rel} = 57$

$g^*_{C,rel} = 59$



5 stufige Reihen für konstanten CIELAB Buntton 38/360 = 0.105 (rechts)

BAM-Prüfvorlage UG26; Farbmétrik-Systeme MRS18a & ORS18

D65: Koordinaten-Systeme von 5stufigen Farbreihen für 10 Bunttonen  
Input:  $cmY0^* setcmykcolor$   
Output: no change compared to input

### Eingabe: Farbmimetrisches Reflexions-System MRS18a

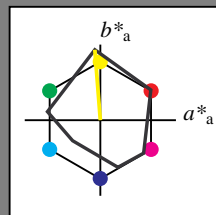
für Buntton  $h^* = lab^*h = 94/360 = 0.262$

$lab^*tch$  und  $lab^*nch$

D65: Buntton J

LCH\*Ma: 91 93 94

rgb\*Ma: 1.0 1.0 0.0



MRS18a; adaptierte CIELAB-Daten					
	$L^*=L^*_a$	$a^*_a$	$b^*_a$	$C^*_{ab,a}$	$h^*_{ab,a}$
RMa	49.63	66.8	40.02	77.87	31
JMa	90.7	-7.27	93.19	93.48	94
GMa	52.11	-69.93	11.26	70.85	171
G50BMa	45.03	-36.65	-27.13	45.61	217
BMa	36.65	23.26	-62.27	66.49	290
B50RMa	34.94	57.27	-43.6	71.99	323
NMa	18.01	0.0	0.0	0.0	0
WMa	95.41	0.0	0.0	0.0	0
RCIE	39.92	58.67	27.97	64.99	25
JCIE	81.26	-2.91	71.56	71.62	92
GCIE	52.23	-42.47	13.58	44.6	162
BCIE	30.57	1.33	-46.48	46.51	272

Dreiecks-Helligkeit  $t^*$

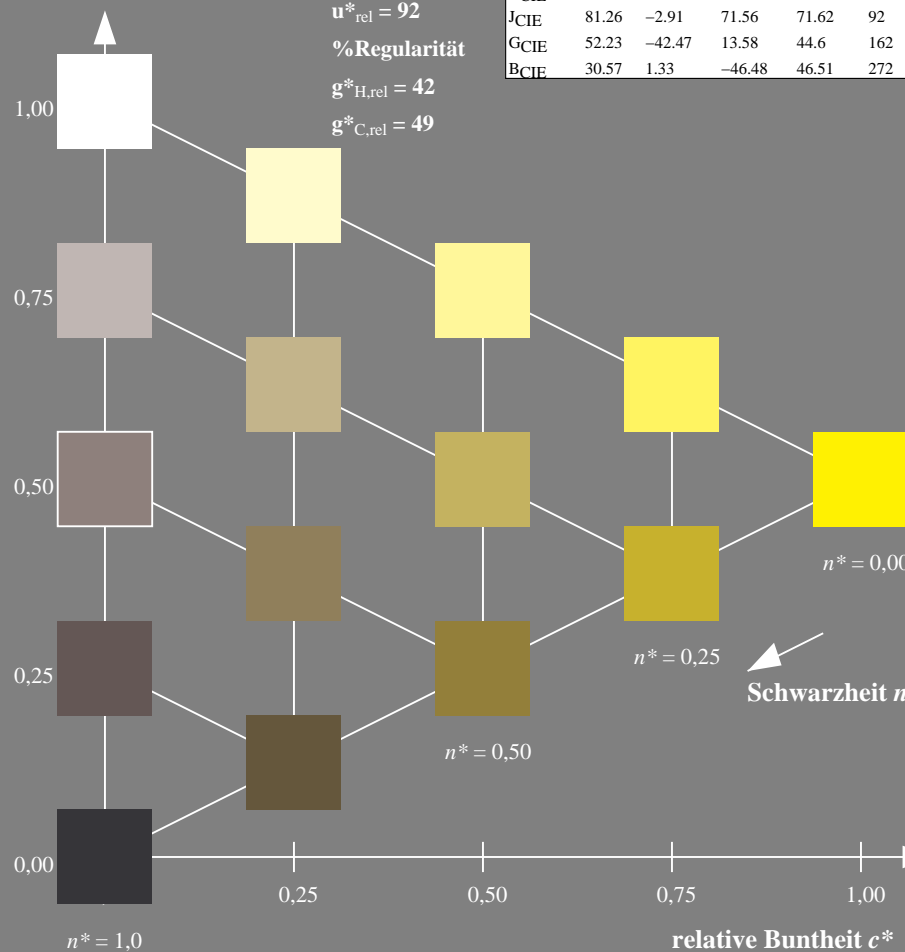
%Umfang

$u^*_{rel} = 92$

%Regularität

$g^*_{H,rel} = 42$

$g^*_{C,rel} = 49$



UG260-7, 5 stufige Reihen für konstanten CIELAB Buntton 94/360 = 0.262 (links)

### Ausgabe: Farbmimetrisches Reflexions-System ORS18

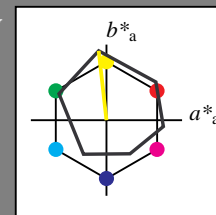
für Buntton  $h^* = lab^*h = 96/360 = 0.268$

$LAB^*LCH$ ,  $LAB^*NCH$

D65: Buntton Y

LCH\*Ma: 90 92 96

rgb\*Ma: 1.0 1.0 0.0



ORS18; adaptierte CIELAB-Daten					
	$L^*=L^*_a$	$a^*_a$	$b^*_a$	$C^*_{ab,a}$	$h^*_{ab,a}$
OMa	47.94	65.37	50.52	82.62	38
YMa	90.37	-10.27	91.77	92.34	96
LMa	50.9	-62.79	34.95	71.87	151
CMa	58.62	-30.35	-45.01	54.3	236
VMa	25.71	31.11	-44.42	54.24	305
MMa	48.13	75.27	-8.35	75.73	354
NMa	18.01	0.0	0.0	0.0	0
WMa	95.41	0.0	0.0	0.0	0
RCIE	39.92	58.66	26.98	64.56	25
JCIE	81.26	-2.17	67.76	67.79	92
GCIE	52.23	-42.26	11.75	43.87	164
BCIE	30.57	1.15	-46.84	46.87	271

CIELAB-Helligkeit  $L^*$

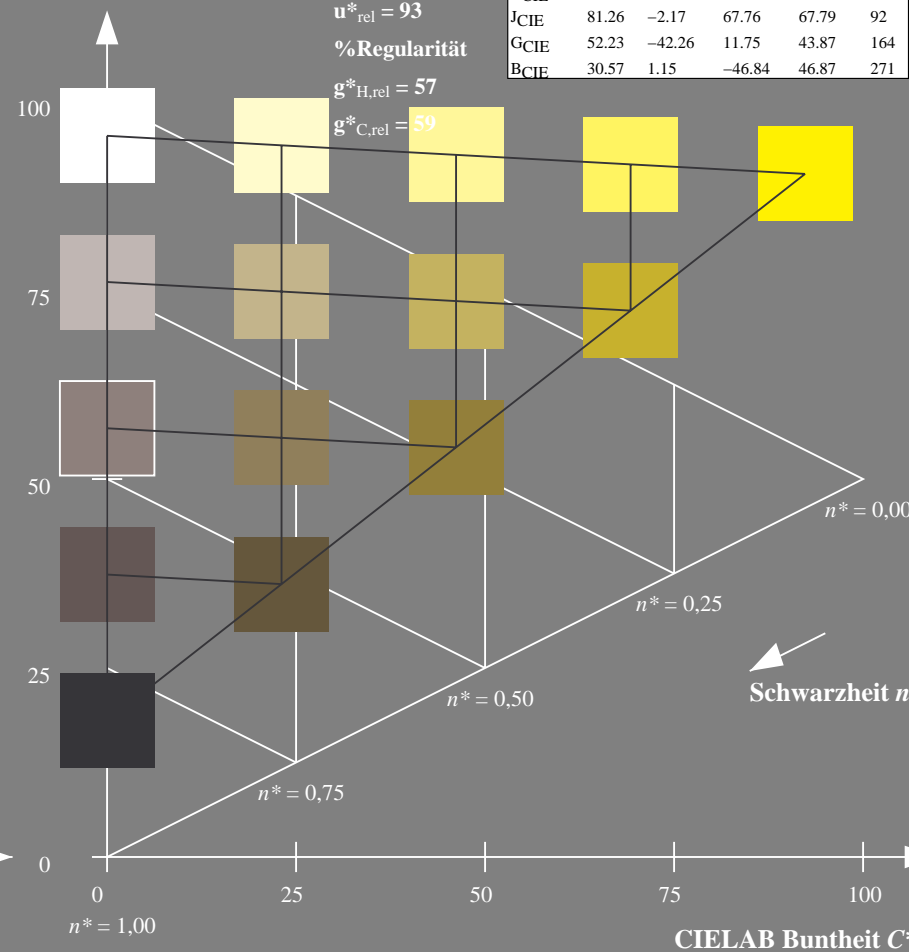
%Umfang

$u^*_{rel} = 93$

%Regularität

$g^*_{H,rel} = 57$

$g^*_{C,rel} = 59$



5 stufige Reihen für konstanten CIELAB Buntton 96/360 = 0.268 (rechts)

BAM-Prüfvorlage UG26; Farbmimetrische-Systeme MRS18a & ORS18

D65: Koordinaten-Systeme von 5stufigen Farbreihen für 10 Buntton

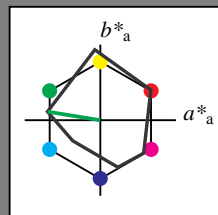
Input:  $cmY0^* setcmykcolor$

Input: no change compared to input

### Eingabe: Farbmimetrisches Reflexions-System MRS18a

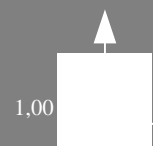
für Buntton  $h^* = lab^*h = 171/360 = 0.475$   
 $lab^*tch$  und  $lab^*nch$

D65: Buntton G  
LCH\*Ma: 52 71 171  
rgb\*Ma: 0.0 1.0 0.0

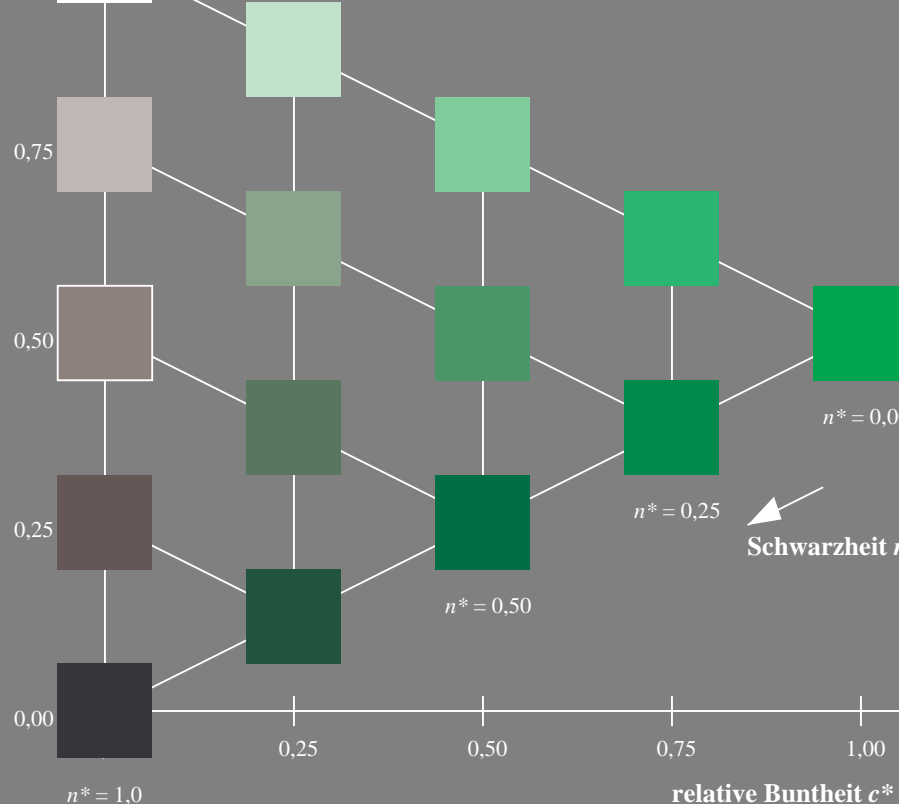


MRS18a; adaptierte CIELAB-Daten					
	$L^*=L^*_a$	$a^*_a$	$b^*_a$	$C^*_{ab,a}$	$h^*_{ab,a}$
RMa	49.63	66.8	40.02	77.87	31
JMa	90.7	-7.27	93.19	93.48	94
GMa	52.11	-69.93	11.26	70.85	171
G50BMa	45.03	-36.65	-27.13	45.61	217
BMa	36.65	23.26	-62.27	66.49	290
B50RMa	34.94	57.27	-43.6	71.99	323
NMa	18.01	0.0	0.0	0.0	0
WMa	95.41	0.0	0.0	0.0	0
RCIE	39.92	58.67	27.97	64.99	25
JCIE	81.26	-2.91	71.56	71.62	92
GCIE	52.23	-42.47	13.58	44.6	162
BCIE	30.57	1.33	-46.48	46.51	272

Dreiecks-Helligkeit  $t^*$



%Umfang  
 $u^*_{rel} = 92$   
%Regularität  
 $g^*_{H,rel} = 42$   
 $g^*_{C,rel} = 49$

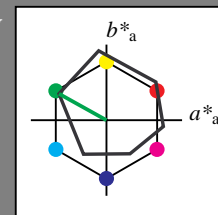


UG260-7, 5 stufige Reihen für konstanten CIELAB Buntton 171/360 = 0.475 (links)

### Ausgabe: Farbmimetrisches Reflexions-System ORS18

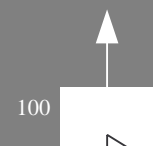
für Buntton  $h^* = lab^*h = 151/360 = 0.419$   
 $LAB^*LCH$ ,  $LAB^*NCH$

D65: Buntton L  
LCH\*Ma: 51 72 151  
rgb\*Ma: 0.0 1.0 0.0

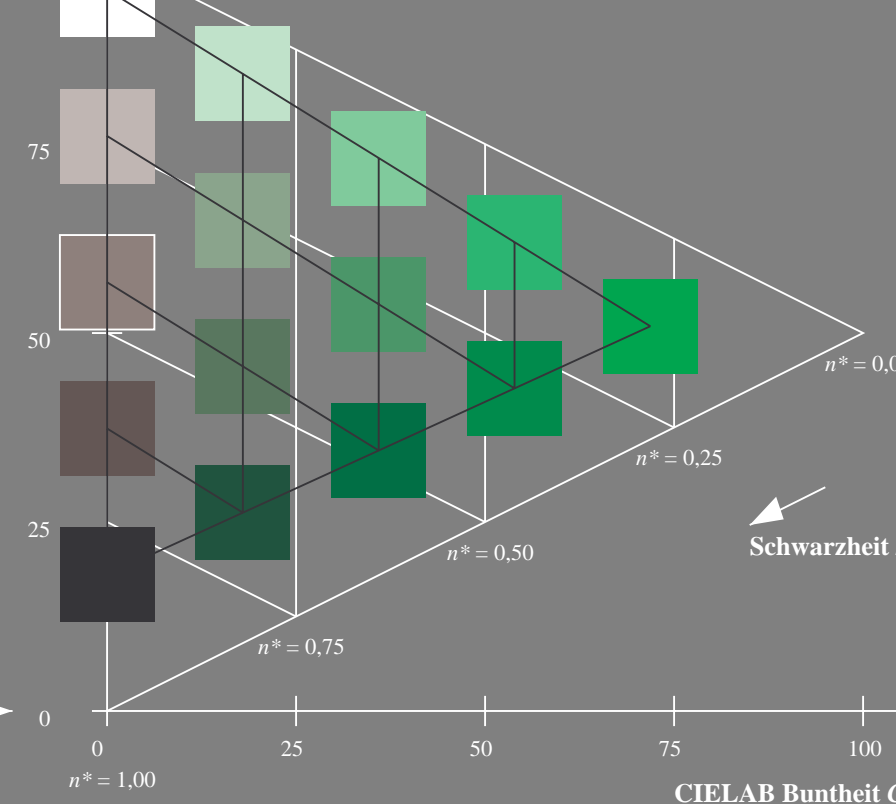


ORS18; adaptierte CIELAB-Daten					
	$L^*=L^*_a$	$a^*_a$	$b^*_a$	$C^*_{ab,a}$	$h^*_{ab,a}$
OMa	47.94	65.37	50.52	82.62	38
YMa	90.37	-10.27	91.77	92.34	96
LMa	50.9	-62.79	34.95	71.87	151
CMa	58.62	-30.35	-45.01	54.3	236
VMa	25.71	31.11	-44.42	54.24	305
MMa	48.13	75.27	-8.35	75.73	354
NMa	18.01	0.0	0.0	0.0	0
WMa	95.41	0.0	0.0	0.0	0
RCIE	39.92	58.66	26.98	64.56	25
JCIE	81.26	-2.17	67.76	67.79	92
GCIE	52.23	-42.26	11.75	43.87	164
BCIE	30.57	1.15	-46.84	46.87	271

CIELAB-Helligkeit  $L^*$



%Umfang  
 $u^*_{rel} = 93$   
%Regularität  
 $g^*_{H,rel} = 57$   
 $g^*_{C,rel} = 59$



5 stufige Reihen für konstanten CIELAB Buntton 151/360 = 0.419 (rechts)

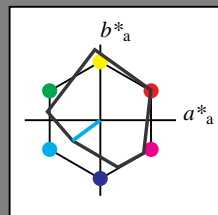
BAM-Prüfvorlage UG26; Farbmimetrische-Systeme MRS18a & ORS18

D65: Koordinaten-Systeme von 5stufigen Farbreihen für 10 Bunttonen  
Input:  $cmY0^*setcmYcolor$   
Output: no change compared to input

### Eingabe: Farbmimetrisches Reflexions-System MRS18a

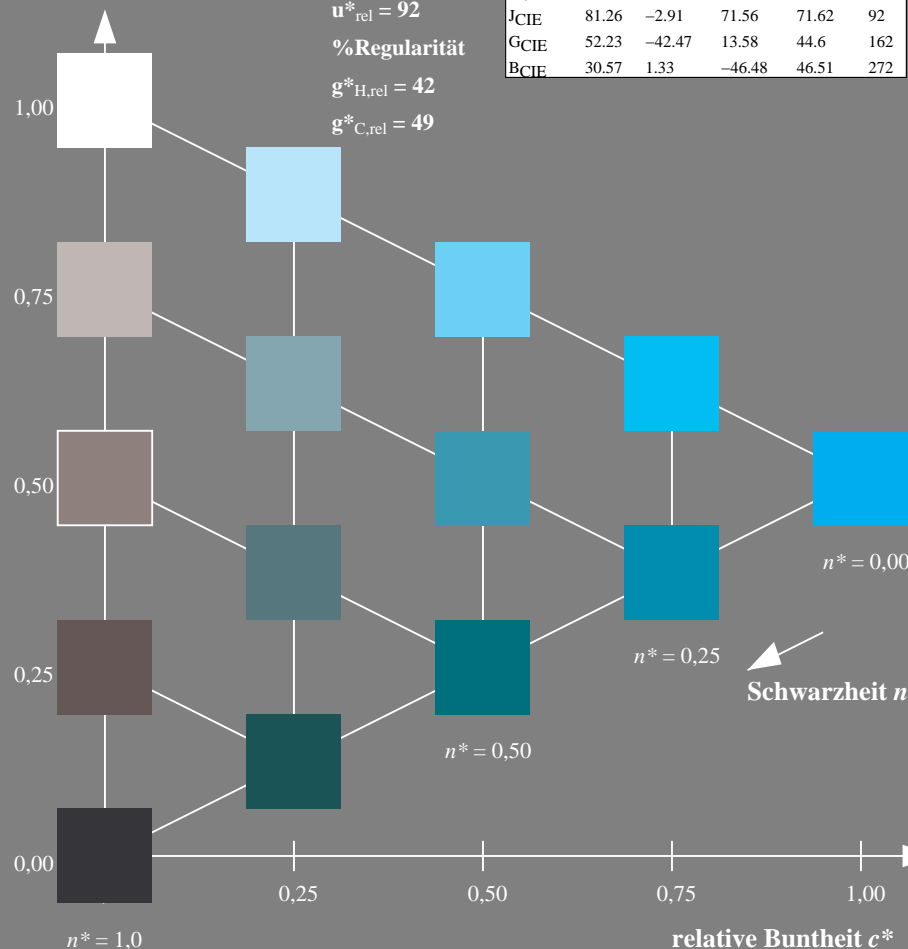
für Buntton  $h^* = lab^*h = 217/360 = 0.601$   
 $lab^*tch$  und  $lab^*nch$

D65: Buntton G50B  
LCH\*Ma: 45 46 217  
rgb\*Ma: 0.0 1.0 1.0



MRS18a; adaptierte CIELAB-Daten					
	$L^*=L^*_a$	$a^*_a$	$b^*_a$	$C^*_{ab,a}$	$h^*_{ab,a}$
RMa	49.63	66.8	40.02	77.87	31
JMa	90.7	-7.27	93.19	93.48	94
GMa	52.11	-69.93	11.26	70.85	171
G50B <sub>Ma</sub>	45.03	-36.65	-27.13	45.61	217
B <sub>Ma</sub>	36.65	23.26	-62.27	66.49	290
B50R <sub>Ma</sub>	34.94	57.27	-43.6	71.99	323
N <sub>Ma</sub>	18.01	0.0	0.0	0.0	0
W <sub>Ma</sub>	95.41	0.0	0.0	0.0	0
RCIE	39.92	58.67	27.97	64.99	25
JCIE	81.26	-2.91	71.56	71.62	92
GCIE	52.23	-42.47	13.58	44.6	162
BCIE	30.57	1.33	-46.48	46.51	272

Dreiecks-Helligkeit  $t^*$

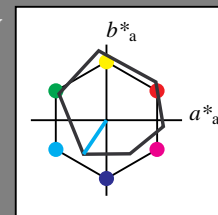


UG260-7, 5 stufige Reihen für konstanten CIELAB Buntton 217/360 = 0.601 (links)

### Ausgabe: Farbmimetrisches Reflexions-System ORS18

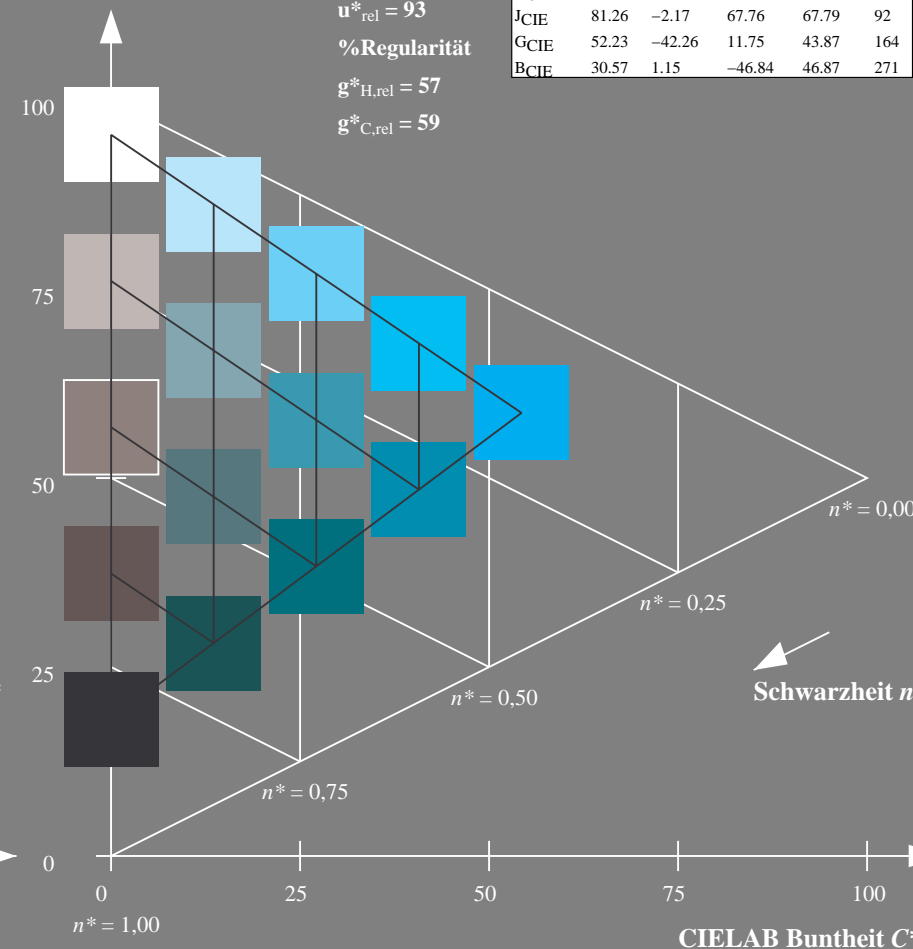
für Buntton  $h^* = lab^*h = 236/360 = 0.656$   
 $LAB^*LCH$ ,  $LAB^*NCH$

D65: Buntton C  
LCH\*Ma: 59 54 236  
rgb\*Ma: 0.0 1.0 1.0



ORS18; adaptierte CIELAB-Daten					
	$L^*=L^*_a$	$a^*_a$	$b^*_a$	$C^*_{ab,a}$	$h^*_{ab,a}$
OMa	47.94	65.37	50.52	82.62	38
YMa	90.37	-10.27	91.77	92.34	96
LMa	50.9	-62.79	34.95	71.87	151
CMa	58.62	-30.35	-45.01	54.3	236
V <sub>Ma</sub>	25.71	31.11	-44.42	54.24	305
MMa	48.13	75.27	-8.35	75.73	354
N <sub>Ma</sub>	18.01	0.0	0.0	0.0	0
W <sub>Ma</sub>	95.41	0.0	0.0	0.0	0
RCIE	39.92	58.66	26.98	64.56	25
JCIE	81.26	-2.17	67.76	67.79	92
GCIE	52.23	-42.26	11.75	43.87	164
BCIE	30.57	1.15	-46.84	46.87	271

CIELAB-Helligkeit  $L^*$



5 stufige Reihen für konstanten CIELAB Buntton 236/360 = 0.656 (rechts)

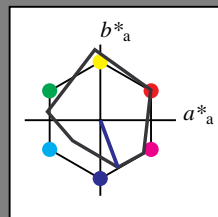
BAM-Prüfvorlage UG26; Farbmimetrische Systeme MRS18a & ORS18

D65: Koordinaten-Systeme von 5stufigen Farbreihen für 10 Bunttonen  
Input:  $cmY0^*setcmykcolor$   
Output: no change compared to input

### Eingabe: Farbmimetrisches Reflexions-System MRS18a

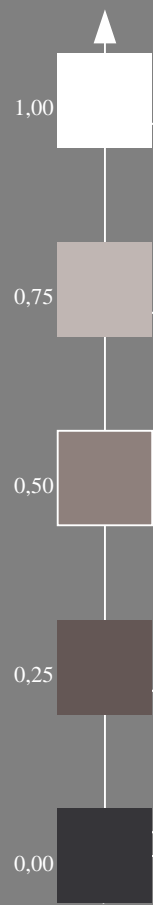
für Buntton  $h^* = lab^*h = 290/360 = 0.807$   
 $lab^*tch$  und  $lab^*nch$

D65: Buntton B  
LCH\*Ma: 37 66 290  
rgb\*Ma: 0.0 0.0 1.0

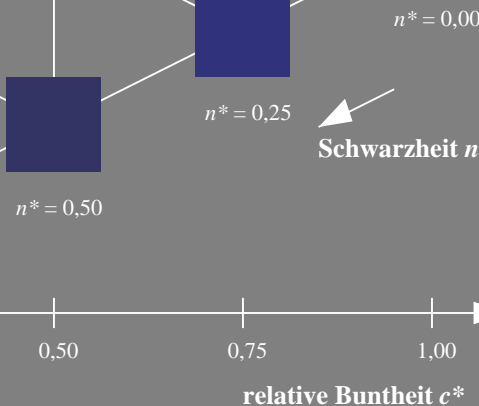


MRS18a; adaptierte CIELAB-Daten					
	$L^*=L^*_a$	$a^*_a$	$b^*_a$	$C^*_{ab,a}$	$h^*_{ab,a}$
RMa	49.63	66.8	40.02	77.87	31
JMa	90.7	-7.27	93.19	93.48	94
GMa	52.11	-69.93	11.26	70.85	171
G50B <sub>Ma</sub>	45.03	-36.65	-27.13	45.61	217
B <sub>Ma</sub>	36.65	23.26	-62.27	66.49	290
B50R <sub>Ma</sub>	34.94	57.27	-43.6	71.99	323
N <sub>Ma</sub>	18.01	0.0	0.0	0.0	0
W <sub>Ma</sub>	95.41	0.0	0.0	0.0	0
RCIE	39.92	58.67	27.97	64.99	25
JCIE	81.26	-2.91	71.56	71.62	92
GCIE	52.23	-42.47	13.58	44.6	162
BCIE	30.57	1.33	-46.48	46.51	272

Dreiecks-Helligkeit  $t^*$



%Umfang  
 $u^*_{rel} = 92$   
%Regularität  
 $g^*_{H,rel} = 42$   
 $g^*_{C,rel} = 49$

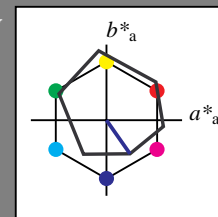


UG260-7, 5 stufige Reihen für konstanten CIELAB Buntton 290/360 = 0.807 (links)

### Ausgabe: Farbmimetrisches Reflexions-System ORS18

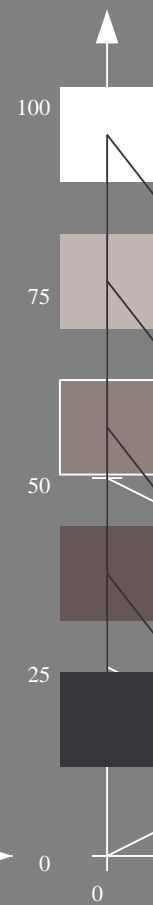
für Buntton  $h^* = lab^*h = 305/360 = 0.847$   
 $LAB^*LCH$ ,  $LAB^*NCH$

D65: Buntton V  
LCH\*Ma: 26 54 305  
rgb\*Ma: 0.0 0.0 1.0

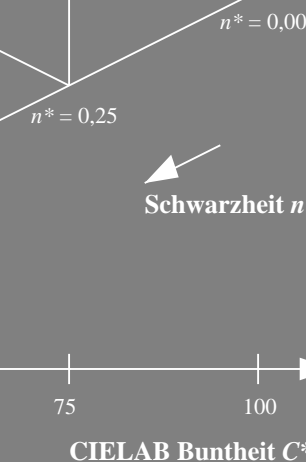


ORS18; adaptierte CIELAB-Daten					
	$L^*=L^*_a$	$a^*_a$	$b^*_a$	$C^*_{ab,a}$	$h^*_{ab,a}$
OMa	47.94	65.37	50.52	82.62	38
YMa	90.37	-10.27	91.77	92.34	96
LMa	50.9	-62.79	34.95	71.87	151
CMa	58.62	-30.35	-45.01	54.3	236
V <sub>Ma</sub>	25.71	31.11	-44.42	54.24	305
M <sub>Ma</sub>	48.13	75.27	-8.35	75.73	354
N <sub>Ma</sub>	18.01	0.0	0.0	0.0	0
W <sub>Ma</sub>	95.41	0.0	0.0	0.0	0
RCIE	39.92	58.66	26.98	64.56	25
JCIE	81.26	-2.17	67.76	67.79	92
GCIE	52.23	-42.26	11.75	43.87	164
BCIE	30.57	1.15	-46.84	46.87	271

CIELAB-Helligkeit  $L^*$



%Umfang  
 $u^*_{rel} = 93$   
%Regularität  
 $g^*_{H,rel} = 57$   
 $g^*_{C,rel} = 59$



5 stufige Reihen für konstanten CIELAB Buntton 305/360 = 0.847 (rechts)

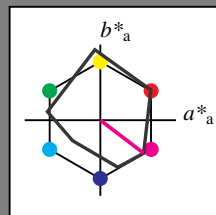
BAM-Prüfvorlage UG26; Farbmimetrische Systeme MRS18a & ORS18

D65: Koordinaten-Systeme von 5stufigen Farbreihen für 10 Bunttonen  
Input:  $cmY0^*setcmykcolor$   
Output: no change compared to input

### Eingabe: Farbmimetrisches Reflexions-System MRS18a

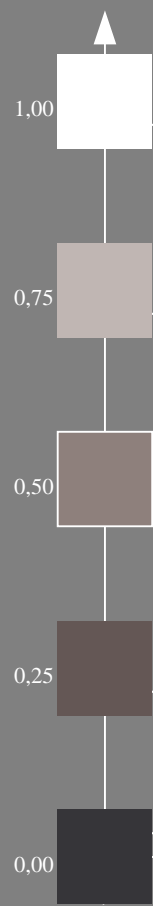
für Buntton  $h^* = lab^*h = 323/360 = 0.896$   
 $lab^*tch$  und  $lab^*nch$

D65: Buntton B50R  
LCH\*Ma: 35 72 323  
rgb\*Ma: 1.0 0.0 1.0



MRS18a; adaptierte CIELAB-Daten					
	$L^*=L^*_a$	$a^*_a$	$b^*_a$	$C^*_{ab,a}$	$h^*_{ab,a}$
RMa	49.63	66.8	40.02	77.87	31
JMa	90.7	-7.27	93.19	93.48	94
GMa	52.11	-69.93	11.26	70.85	171
G50B <sub>Ma</sub>	45.03	-36.65	-27.13	45.61	217
B <sub>Ma</sub>	36.65	23.26	-62.27	66.49	290
B50R <sub>Ma</sub>	34.94	57.27	-43.6	71.99	323
N <sub>Ma</sub>	18.01	0.0	0.0	0.0	0
W <sub>Ma</sub>	95.41	0.0	0.0	0.0	0
RCIE	39.92	58.67	27.97	64.99	25
JCIE	81.26	-2.91	71.56	71.62	92
GCIE	52.23	-42.47	13.58	44.6	162
BCIE	30.57	1.33	-46.48	46.51	272

Dreiecks-Helligkeit  $t^*$



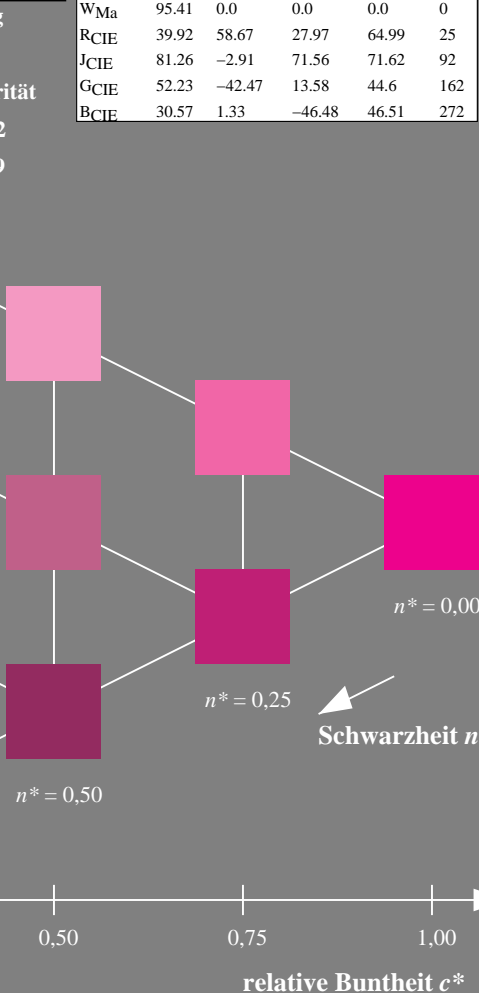
%Umfang

$u^*_{rel} = 92$

%Regularität

$g^*_{H,rel} = 42$

$g^*_{C,rel} = 49$



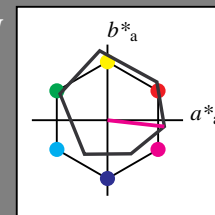
Schwarzheit  $n^*$

UG260-7, 5 stufige Reihen für konstanten CIELAB Buntton 323/360 = 0.896 (links)

### Ausgabe: Farbmimetrisches Reflexions-System ORS18

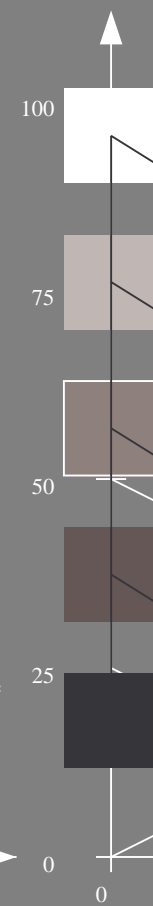
für Buntton  $h^* = lab^*h = 354/360 = 0.982$   
 $LAB^*LCH$ ,  $LAB^*NCH$

D65: Buntton M  
LCH\*Ma: 48 76 354  
rgb\*Ma: 1.0 0.0 1.0



ORS18; adaptierte CIELAB-Daten					
	$L^*=L^*_a$	$a^*_a$	$b^*_a$	$C^*_{ab,a}$	$h^*_{ab,a}$
OMa	47.94	65.37	50.52	82.62	38
YMa	90.37	-10.27	91.77	92.34	96
LMa	50.9	-62.79	34.95	71.87	151
CMa	58.62	-30.35	-45.01	54.3	236
V <sub>Ma</sub>	25.71	31.11	-44.42	54.24	305
M <sub>Ma</sub>	48.13	75.27	-8.35	75.73	354
N <sub>Ma</sub>	18.01	0.0	0.0	0.0	0
W <sub>Ma</sub>	95.41	0.0	0.0	0.0	0
RCIE	39.92	58.66	26.98	64.56	25
JCIE	81.26	-2.17	67.76	67.79	92
GCIE	52.23	-42.26	11.75	43.87	164
BCIE	30.57	1.15	-46.84	46.87	271

CIELAB-Helligkeit  $L^*$



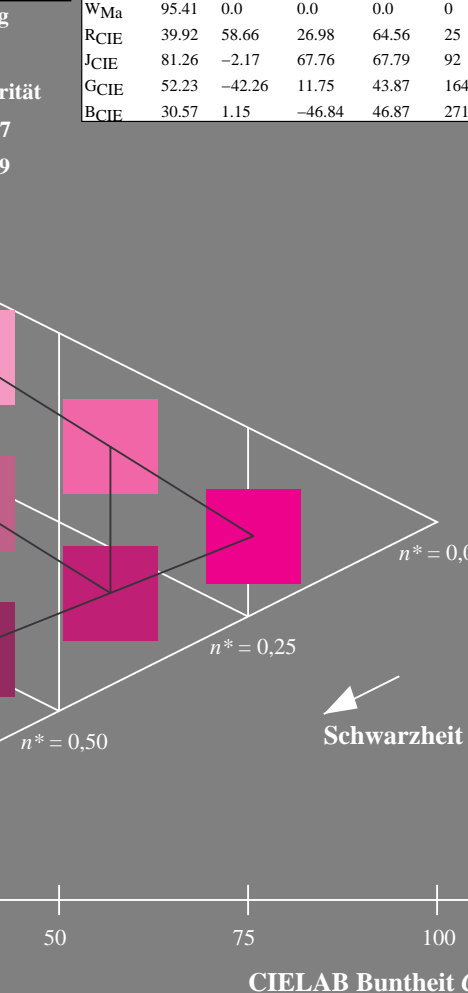
%Umfang

$u^*_{rel} = 93$

%Regularität

$g^*_{H,rel} = 57$

$g^*_{C,rel} = 59$



Schwarzheit  $n^*$

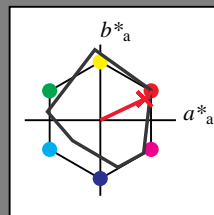
5 stufige Reihen für konstanten CIELAB Buntton 354/360 = 0.982 (rechts)

BAM-Prüfvorlage UG26; Farbmimetrische-Systeme MRS18a & ORS18  
D65: Koordinaten-Systeme von 5stufigen Farbreihen für 10 Bunttonen  
Input:  $cmY0^*setcmykcolor$   
Output: no change compared to input

### Eingabe: Farbmétrisches Reflexions-System MRS18a

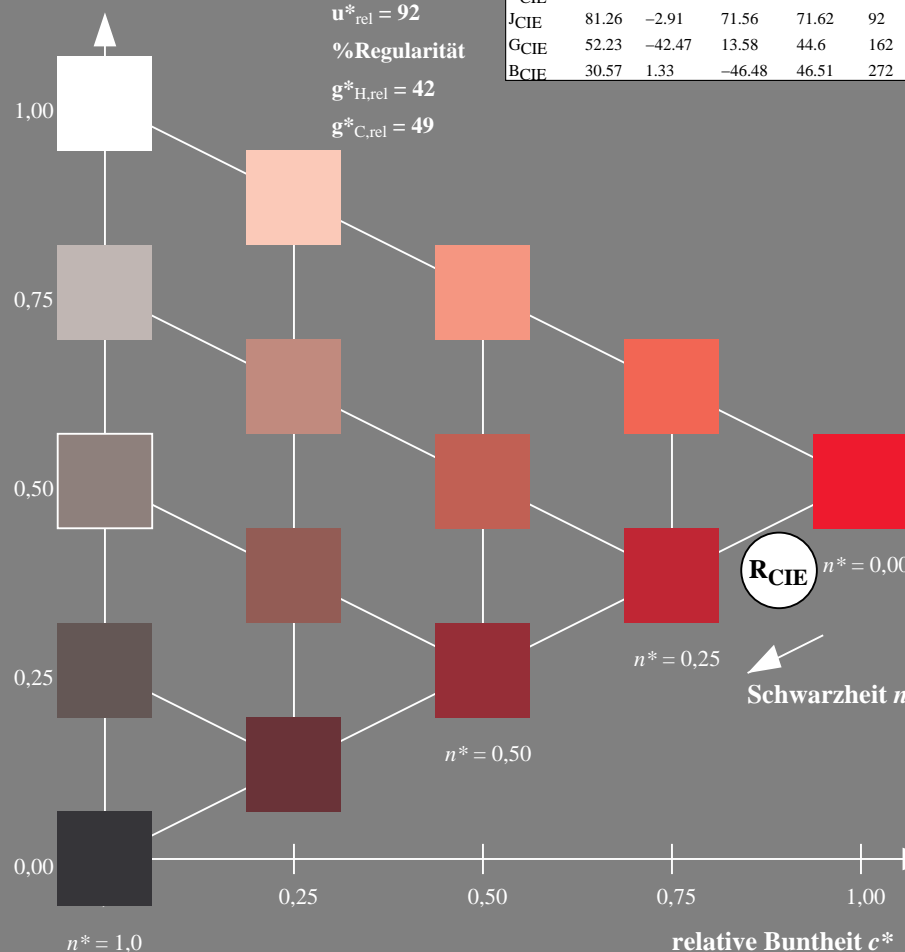
für Buntton  $h^* = lab^*h = 25/360 = 0.071$   
 $lab^*tch$  und  $lab^*nch$

D65: Buntton R  
LCH\*Ma: 48 73 25  
rgb\*Ma: 1.0 0.0 0.1



MRS18a; adaptierte CIELAB-Daten					
	$L^*=L^*_a$	$a^*_a$	$b^*_a$	$C^*_{ab,a}$	$h^*_{ab,a}$
RMa	49.63	66.8	40.02	77.87	31
JMa	90.7	-7.27	93.19	93.48	94
GMa	52.11	-69.93	11.26	70.85	171
G50BMa	45.03	-36.65	-27.13	45.61	217
BMa	36.65	23.26	-62.27	66.49	290
B50RMa	34.94	57.27	-43.6	71.99	323
NMa	18.01	0.0	0.0	0.0	0
WMa	95.41	0.0	0.0	0.0	0
RCIE	39.92	58.67	27.97	64.99	25
JCIE	81.26	-2.91	71.56	71.62	92
GCIE	52.23	-42.47	13.58	44.6	162
BCIE	30.57	1.33	-46.48	46.51	272

Dreiecks-Helligkeit  $t^*$

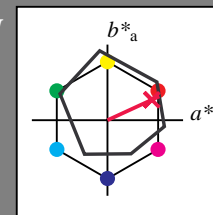


UG260-7, 5 stufige Reihen für konstanten CIELAB Buntton 25/360 = 0.071 (links)

### Ausgabe: Farbmétrisches Reflexions-System ORS18

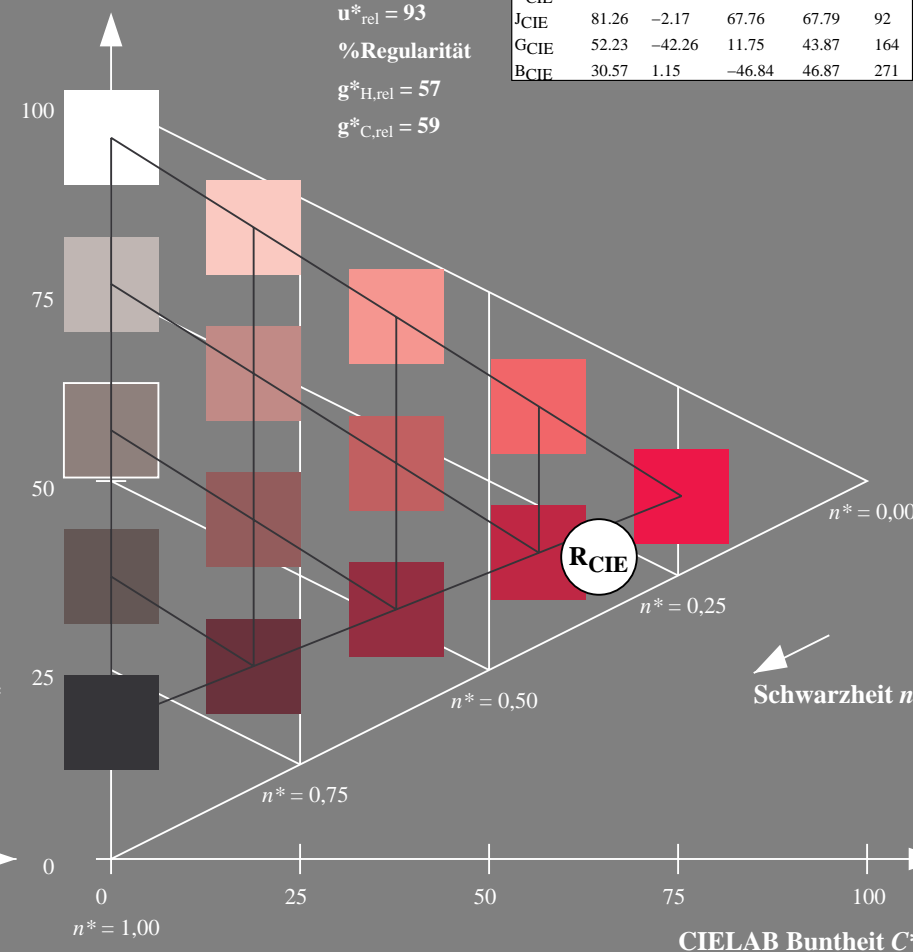
für Buntton  $h^* = lab^*h = 25/360 = 0.069$   
 $LAB^*LCH$ ,  $LAB^*NCH$

D65: Buntton R  
LCH\*Ma: 48 75 25  
rgb\*Ma: 1.0 0.0 0.32



ORS18; adaptierte CIELAB-Daten					
	$L^*=L^*_a$	$a^*_a$	$b^*_a$	$C^*_{ab,a}$	$h^*_{ab,a}$
OMa	47.94	65.37	50.52	82.62	38
YMa	90.37	-10.27	91.77	92.34	96
LMa	50.9	-62.79	34.95	71.87	151
CMa	58.62	-30.35	-45.01	54.3	236
VMa	25.71	31.11	-44.42	54.24	305
MMa	48.13	75.27	-8.35	75.73	354
NMa	18.01	0.0	0.0	0.0	0
WMa	95.41	0.0	0.0	0.0	0
RCIE	39.92	58.66	26.98	64.56	25
JCIE	81.26	-2.17	67.76	67.79	92
GCIE	52.23	-42.26	11.75	43.87	164
BCIE	30.57	1.15	-46.84	46.87	271

CIELAB-Helligkeit  $L^*$



5 stufige Reihen für konstanten CIELAB Buntton 25/360 = 0.069 (rechts)

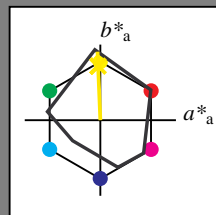
BAM-Prüfvorlage UG26; Farbmétrik-Systeme MRS18a & ORS18  
D65: Koordinaten-Systeme von 5stufigen Farbreihen für 10 Bunttonen  
Input:  $cmY0^*setcmykcolor$   
Output: no change compared to input



### Eingabe: Farbmimetrisches Reflexions-System MRS18a

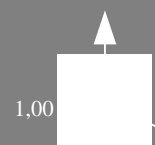
für Buntton  $h^* = lab^*h = 92/360 = 0.256$   
 $lab^*tch$  und  $lab^*nch$

D65: Buntton J  
LCH\*Ma: 89 91 92  
rgb\*Ma: 1.0 0.95 0.0

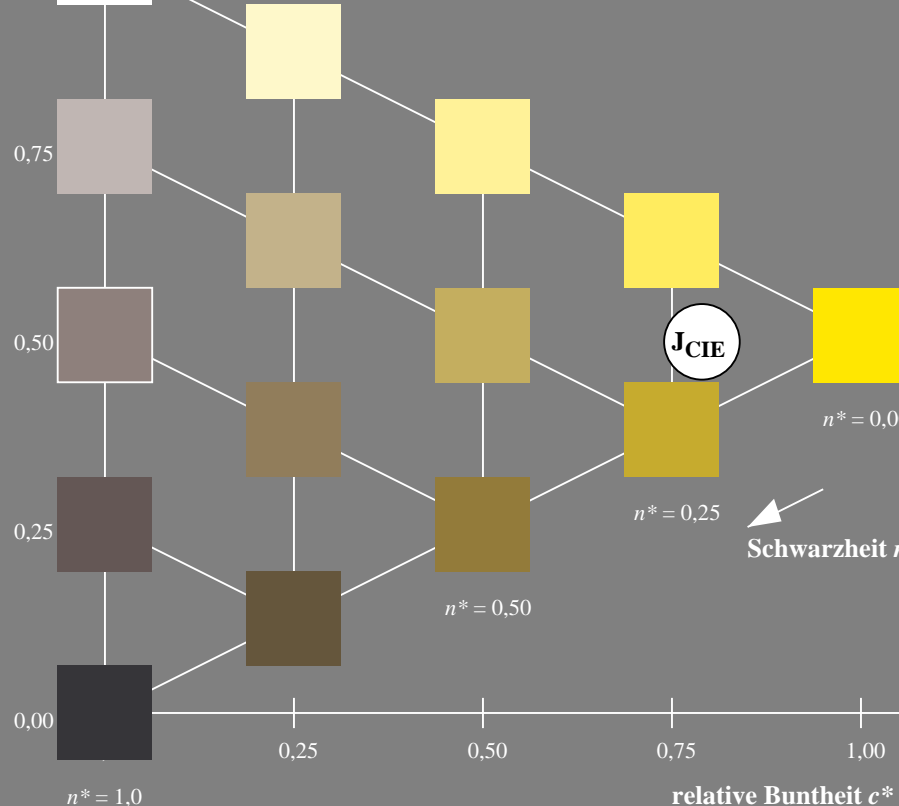


MRS18a; adaptierte CIELAB-Daten					
	$L^*=L^*_a$	$a^*_a$	$b^*_a$	$C^*_{ab,a}$	$h^*_{ab,a}$
RMa	49.63	66.8	40.02	77.87	31
JMa	90.7	-7.27	93.19	93.48	94
GMa	52.11	-69.93	11.26	70.85	171
G50BMa	45.03	-36.65	-27.13	45.61	217
BMa	36.65	23.26	-62.27	66.49	290
B50RMa	34.94	57.27	-43.6	71.99	323
NMa	18.01	0.0	0.0	0.0	0
WMa	95.41	0.0	0.0	0.0	0
RCIE	39.92	58.67	27.97	64.99	25
JCIE	81.26	-2.91	71.56	71.62	92
GCIE	52.23	-42.47	13.58	44.6	162
BCIE	30.57	1.33	-46.48	46.51	272

Dreiecks-Helligkeit  $t^*$



%Umfang  
 $u^*_{rel} = 92$   
%Regularität  
 $g^*_{H,rel} = 42$   
 $g^*_{C,rel} = 49$

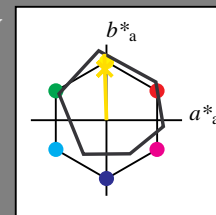


UG260-7, 5 stufige Reihen für konstanten CIE LAB Buntton 92/360 = 0.256 (links)

### Ausgabe: Farbmimetrisches Reflexions-System ORS18

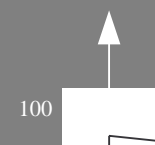
für Buntton  $h^* = lab^*h = 92/360 = 0.255$   
 $LAB^*LCH$ ,  $LAB^*NCH$

D65: Buntton J  
LCH\*Ma: 86 88 92  
rgb\*Ma: 1.0 0.9 0.0

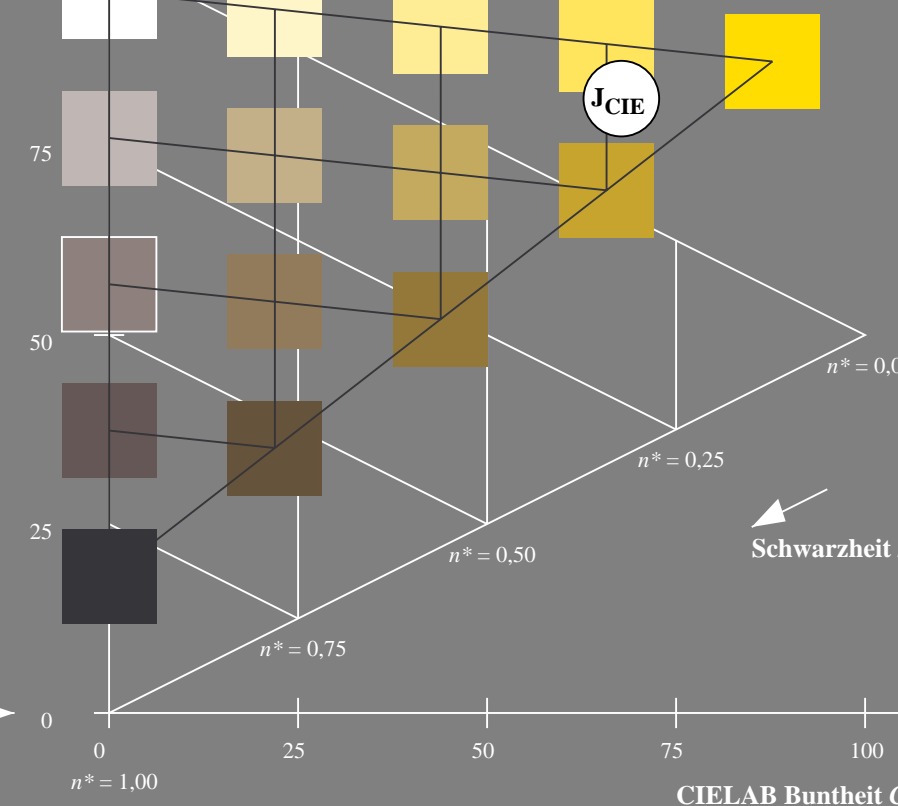


ORS18; adaptierte CIELAB-Daten					
	$L^*=L^*_a$	$a^*_a$	$b^*_a$	$C^*_{ab,a}$	$h^*_{ab,a}$
OMa	47.94	65.37	50.52	82.62	38
YMa	90.37	-10.27	91.77	92.34	96
LMa	50.9	-62.79	34.95	71.87	151
CMa	58.62	-30.35	-45.01	54.3	236
VMa	25.71	31.11	-44.42	54.24	305
MMa	48.13	75.27	-8.35	75.73	354
NMa	18.01	0.0	0.0	0.0	0
WMa	95.41	0.0	0.0	0.0	0
RCIE	39.92	58.66	26.98	64.56	25
JCIE	81.26	-2.17	67.76	67.79	92
GCIE	52.23	-42.26	11.75	43.87	164
BCIE	30.57	1.15	-46.84	46.87	271

CIE LAB-Helligkeit  $L^*$



%Umfang  
 $u^*_{rel} = 93$   
%Regularität  
 $g^*_{H,rel} = 57$   
 $g^*_{C,rel} = 59$



5 stufige Reihen für konstanten CIE LAB Buntton 92/360 = 0.255 (rechts)

BAM-Prüfvorlage UG26; Farbmimetrik-Systeme MRS18a & ORS18

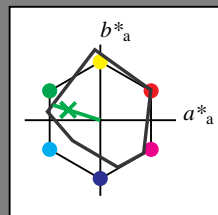
D65: Koordinaten-Systeme von 5stufigen Farbreihen für 10 Bunttoninput:  $cm y0^* set cmykcolor$   
input: no change compared to input



### Eingabe: Farbmimetrisches Reflexions-System MRS18a

für Buntton  $h^* = lab^*h = 162/360 = 0.451$   
 $lab^*tch$  und  $lab^*nch$

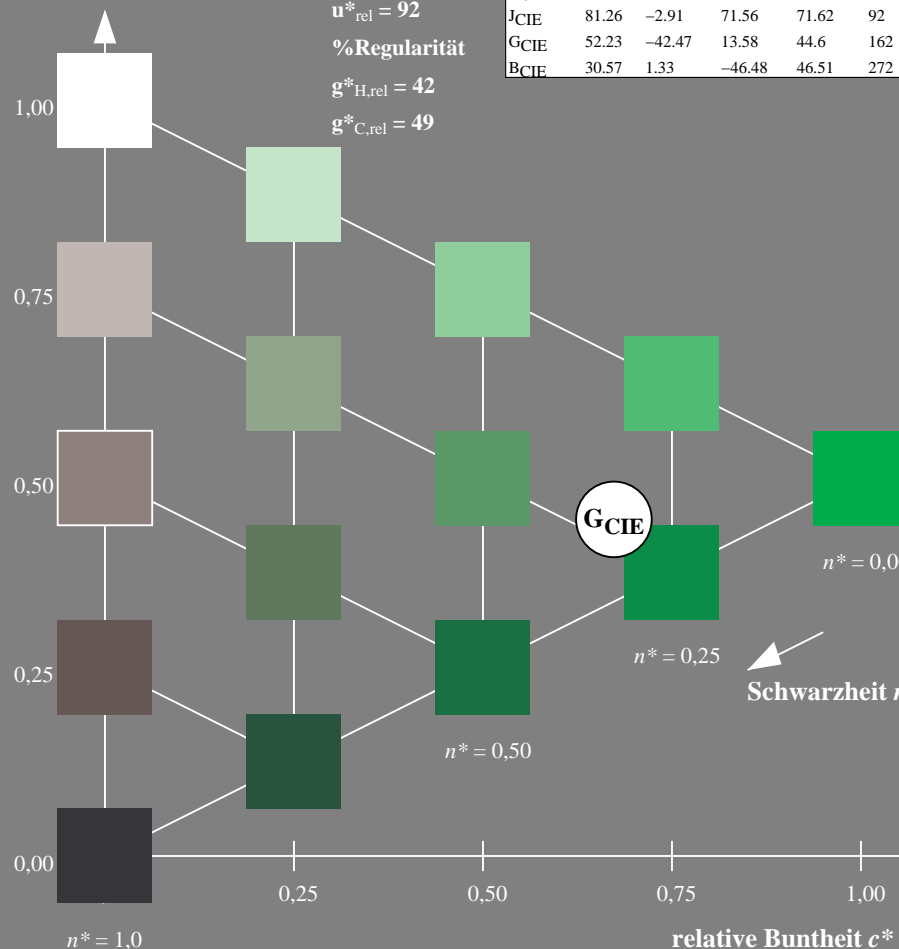
D65: Buntton G  
LCH\*Ma: 56 66 162  
rgb\*Ma: 0.11 1.0 0.0



MRS18a; adaptierte CIELAB-Daten					
	$L^*=L^*_a$	$a^*_a$	$b^*_a$	$C^*_{ab,a}$	$h^*_{ab,a}$
RMa	49.63	66.8	40.02	77.87	31
JMa	90.7	-7.27	93.19	93.48	94
GMa	52.11	-69.93	11.26	70.85	171
G50BMa	45.03	-36.65	-27.13	45.61	217
BMa	36.65	23.26	-62.27	66.49	290
B50RMa	34.94	57.27	-43.6	71.99	323
NMa	18.01	0.0	0.0	0.0	0
WMa	95.41	0.0	0.0	0.0	0
RCIE	39.92	58.67	27.97	64.99	25
JCIE	81.26	-2.91	71.56	71.62	92
GCIE	52.23	-42.47	13.58	44.6	162
BCIE	30.57	1.33	-46.48	46.51	272

Dreiecks-Helligkeit  $t^*$

%Umfang  
 $u^*_{rel} = 92$   
%Regularität  
 $g^*_{H,rel} = 42$   
 $g^*_{C,rel} = 49$

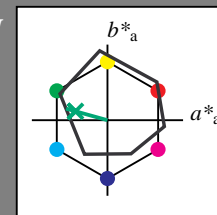


UG260-7, 5 stufige Reihen für konstanten CIELAB Buntton 162/360 = 0.451 (links)

### Ausgabe: Farbmimetrisches Reflexions-System ORS18

für Buntton  $h^* = lab^*h = 164/360 = 0.457$   
 $LAB^*LCH$ ,  $LAB^*NCH$

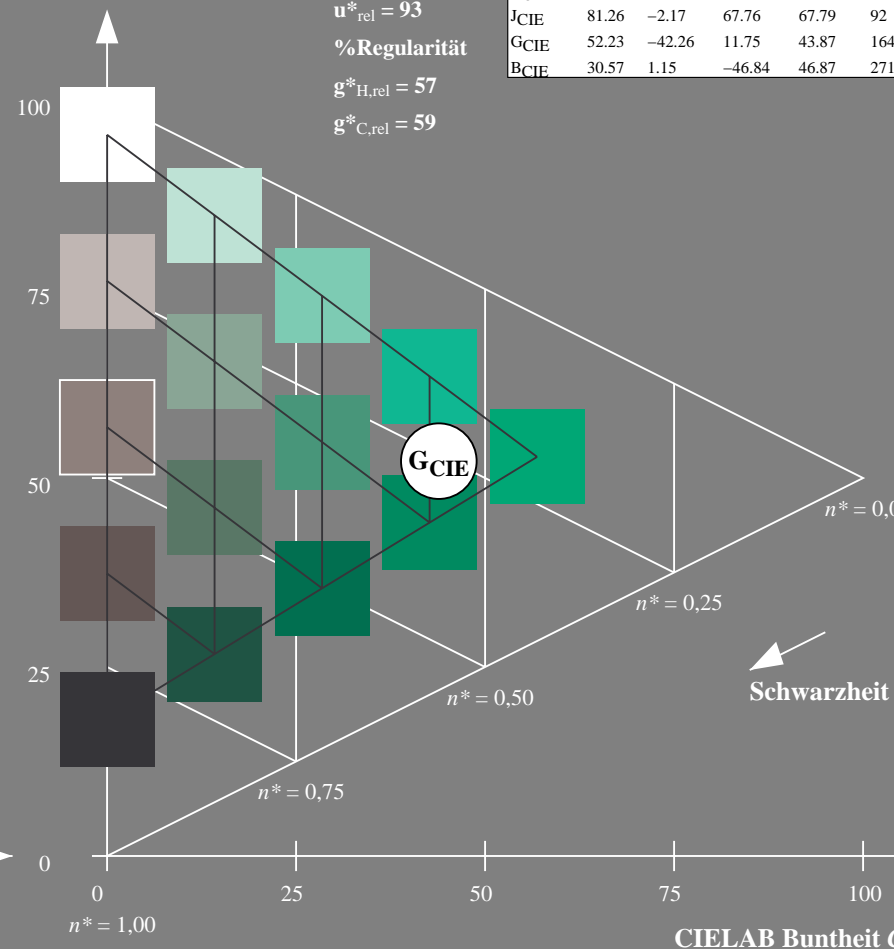
D65: Buntton G  
LCH\*Ma: 53 57 164  
rgb\*Ma: 0.0 1.0 0.25



ORS18; adaptierte CIELAB-Daten					
	$L^*=L^*_a$	$a^*_a$	$b^*_a$	$C^*_{ab,a}$	$h^*_{ab,a}$
OMa	47.94	65.37	50.52	82.62	38
YMa	90.37	-10.27	91.77	92.34	96
LMa	50.9	-62.79	34.95	71.87	151
CMa	58.62	-30.35	-45.01	54.3	236
VMa	25.71	31.11	-44.42	54.24	305
MMa	48.13	75.27	-8.35	75.73	354
NMa	18.01	0.0	0.0	0.0	0
WMa	95.41	0.0	0.0	0.0	0
RCIE	39.92	58.66	26.98	64.56	25
JCIE	81.26	-2.17	67.76	67.79	92
GCIE	52.23	-42.26	11.75	43.87	164
BCIE	30.57	1.15	-46.84	46.87	271

CIELAB-Helligkeit  $L^*$

%Umfang  
 $u^*_{rel} = 93$   
%Regularität  
 $g^*_{H,rel} = 57$   
 $g^*_{C,rel} = 59$



5 stufige Reihen für konstanten CIELAB Buntton 164/360 = 0.457 (rechts)

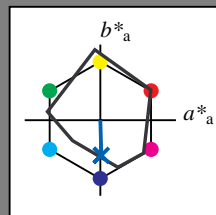
BAM-Prüfvorlage UG26; Farbmimetrische Systeme MRS18a & ORS18

D65: Koordinaten-Systeme von 5stufigen Farbreihen für 10 Bunttonen  
Input:  $cmY0^*setcmykcolor$   
Output: no change compared to input

### Eingabe: Farbmimetrisches Reflexions-System MRS18a

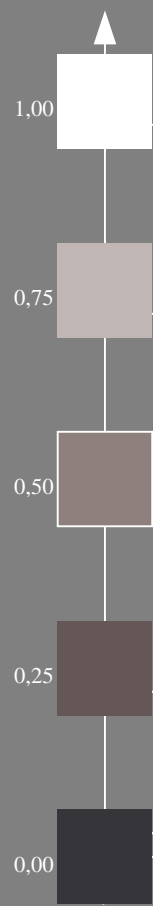
für Buntton  $h^* = lab^*h = 272/360 = 0.755$   
 $lab^*tch$  und  $lab^*nch$

D65: Buntton B  
LCH\*Ma: 40 49 272  
rgb\*Ma: 0.0 0.36 1.0



MRS18a; adaptierte CIELAB-Daten					
	$L^*=L^*_a$	$a^*_a$	$b^*_a$	$C^*_{ab,a}$	$h^*_{ab,a}$
RMa	49.63	66.8	40.02	77.87	31
JMa	90.7	-7.27	93.19	93.48	94
GMa	52.11	-69.93	11.26	70.85	171
G50BMa	45.03	-36.65	-27.13	45.61	217
BMa	36.65	23.26	-62.27	66.49	290
B50RMa	34.94	57.27	-43.6	71.99	323
NMa	18.01	0.0	0.0	0.0	0
WMa	95.41	0.0	0.0	0.0	0
RCIE	39.92	58.67	27.97	64.99	25
JCIE	81.26	-2.91	71.56	71.62	92
GCIE	52.23	-42.47	13.58	44.6	162
BCIE	30.57	1.33	-46.48	46.51	272

Dreiecks-Helligkeit  $t^*$



%Umfang

$u^*_{rel} = 92$

%Regularität

$g^*_{H,rel} = 42$

$g^*_{C,rel} = 49$

$B_{CIE} = 0.00$   
 $n^* = 0.25$   
Schwarzheit  $n^*$

$n^* = 0.50$

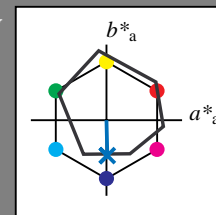
relative Buntheit  $c^*$

UG260-7, 5 stufige Reihen für konstanten CIELAB Buntton  $272/360 = 0.755$  (links)

### Ausgabe: Farbmimetrisches Reflexions-System ORS18

für Buntton  $h^* = lab^*h = 271/360 = 0.754$   
 $LAB^*LCH$ ,  $LAB^*NCH$

D65: Buntton B  
LCH\*Ma: 42 45 271  
rgb\*Ma: 0.0 0.49 1.0



ORS18; adaptierte CIELAB-Daten					
	$L^*=L^*_a$	$a^*_a$	$b^*_a$	$C^*_{ab,a}$	$h^*_{ab,a}$
OMa	47.94	65.37	50.52	82.62	38
YMa	90.37	-10.27	91.77	92.34	96
LMa	50.9	-62.79	34.95	71.87	151
CMa	58.62	-30.35	-45.01	54.3	236
VMa	25.71	31.11	-44.42	54.24	305
MMa	48.13	75.27	-8.35	75.73	354
NMa	18.01	0.0	0.0	0.0	0
WMa	95.41	0.0	0.0	0.0	0
RCIE	39.92	58.66	26.98	64.56	25
JCIE	81.26	-2.17	67.76	67.79	92
GCIE	52.23	-42.26	11.75	43.87	164
BCIE	30.57	1.15	-46.84	46.87	271

CIELAB-Helligkeit  $L^*$

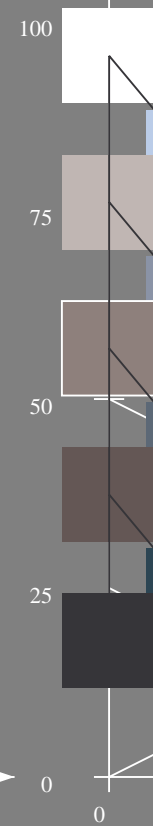
%Umfang

$u^*_{rel} = 93$

%Regularität

$g^*_{H,rel} = 57$

$g^*_{C,rel} = 59$



$B_{CIE} = 0.00$   
 $n^* = 0.25$   
Schwarzheit  $n^*$

$n^* = 0.50$

CIELAB Buntheit  $C^*_{ab}$

5 stufige Reihen für konstanten CIELAB Buntton  $271/360 = 0.754$  (rechts)

BAM-Prüfvorlage UG26; Farbmimetrische Systeme MRS18a & ORS18  
D65: Koordinaten-Systeme von 5stufigen Farbreihen für 10 Bunttonen  
Input:  $cmY0^*setcmYcolor$   
Output: no change compared to input